



A.S.L. CN1

*Azienda Sanitaria Locale
di Cuneo, Mondovì e Savigliano*



La Mano Reumatoide

Marta Piora

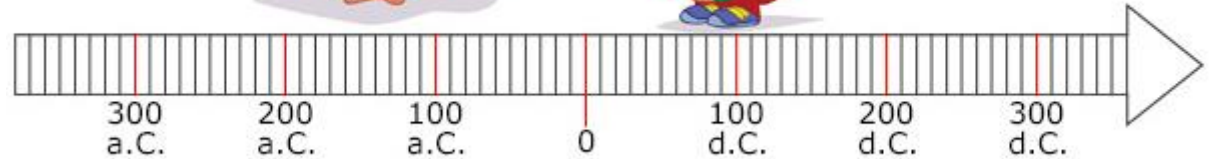
Reumatologia

Ospedale di Mondovì – ASL CN1

Torino, 9 Ottobre 2021

1957..

Ann. rheum. Dis. (1957), 16, 183.



HAND DEFORMITIES IN RHEUMATOID DISEASE

BY

D. A. BREWERTON

From the Department of Physical Medicine, King's College Hospital, London

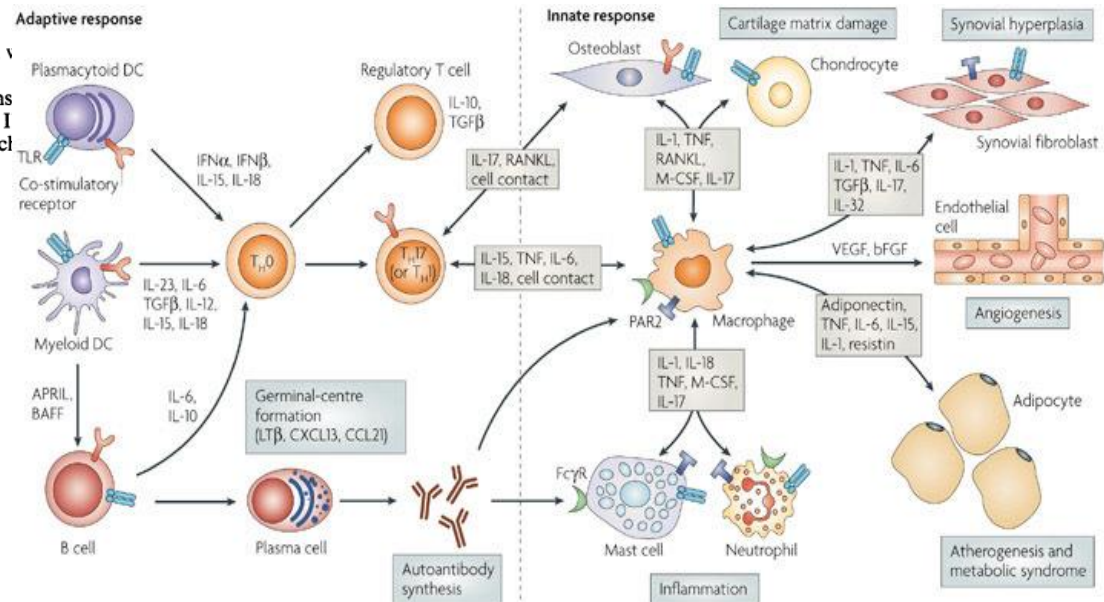
(RECEIVED FOR PUBLICATION FEBRUARY 1, 1957)

This is a study of hand deformities in rheumatoid disease: their incidence, their causes, and their effects on function. Three hundred patients with this disease have been examined.

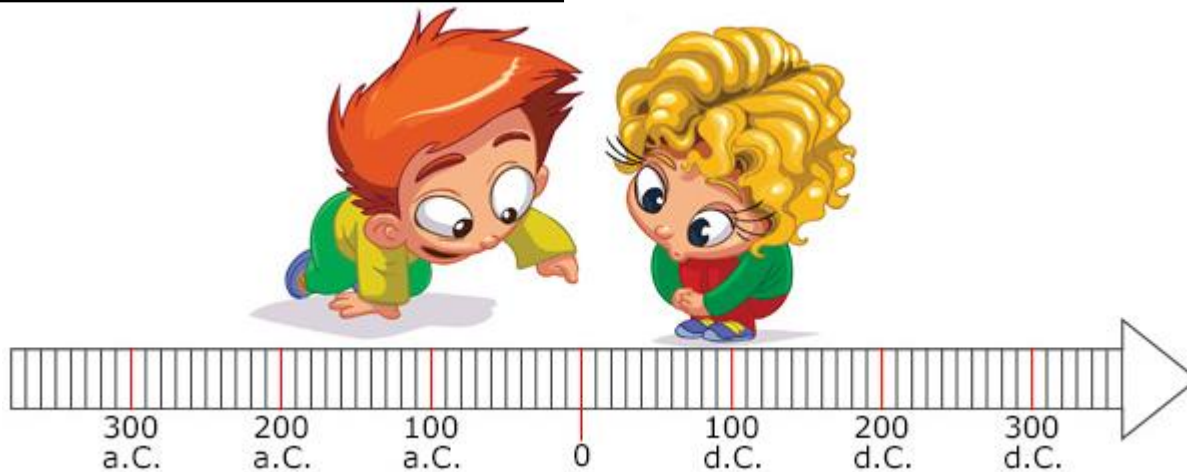
rheumatic disease; fifteen was bedridden.

The sex ratio, age at onset set out in Tables I and I sented, except that, by cl

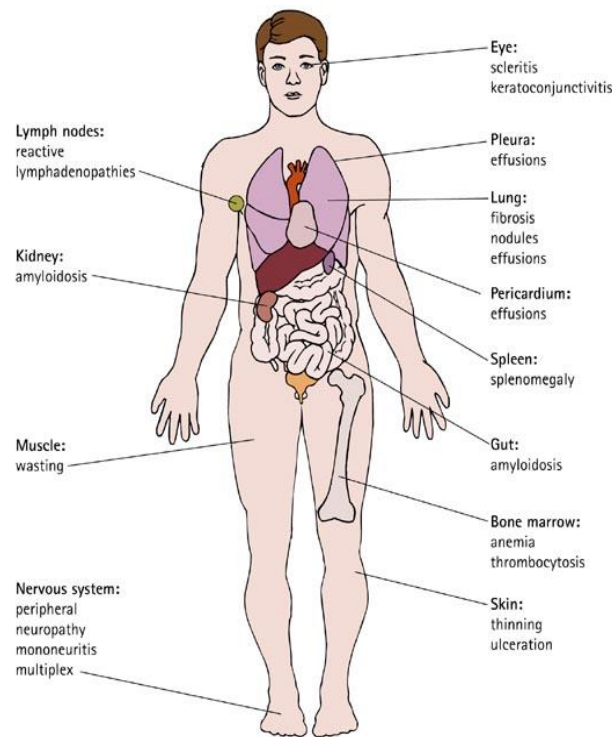
..2021



Early Rheumatoid Arthritis



L'artrite reumatoide e' una malattia sistemica con **prevalente** espressione infiammatoria articolare



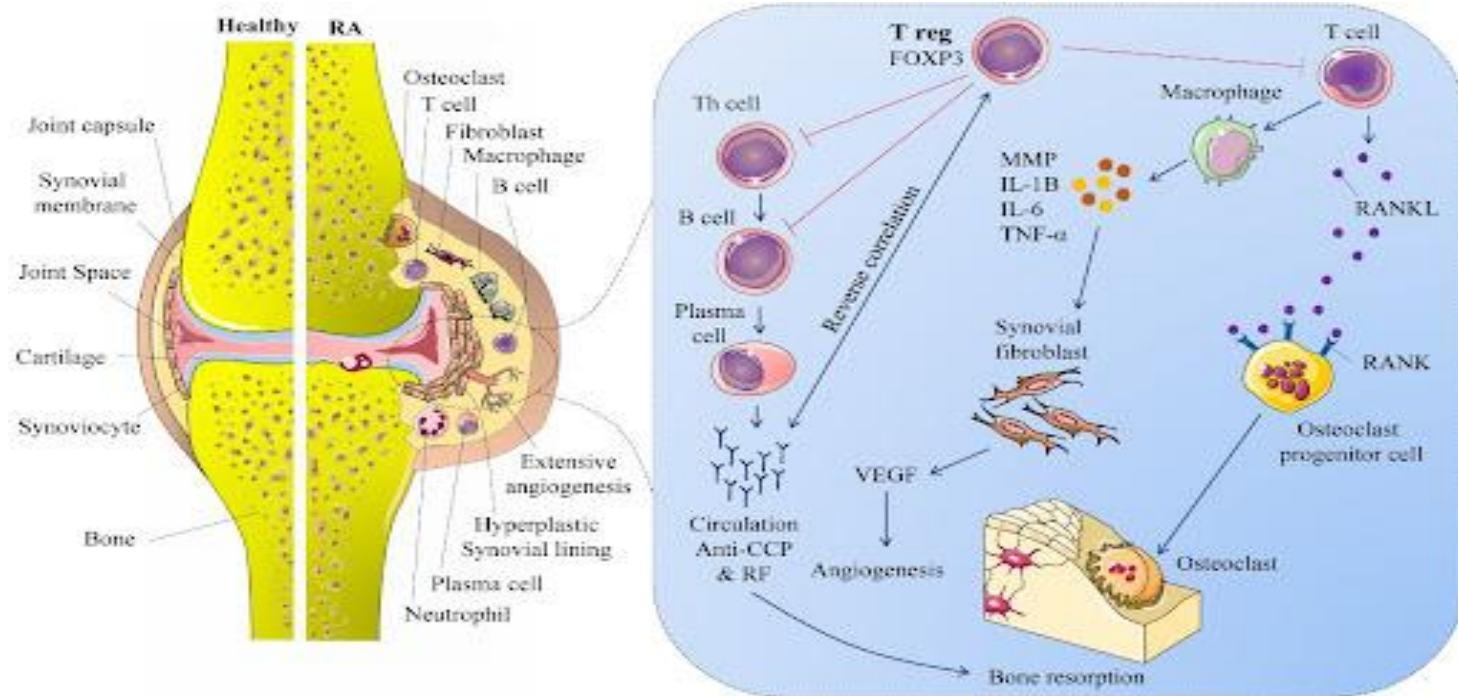
Manifestazioni generali

Astenia, calo ponderale, osteoporosi, aterosclerosi, depressione (...)

Manifestazioni d'organo

Articolari, cutanee
Cardiovascolari polmonari
Oculistiche Intestinali
Renali Neurologiche (...)

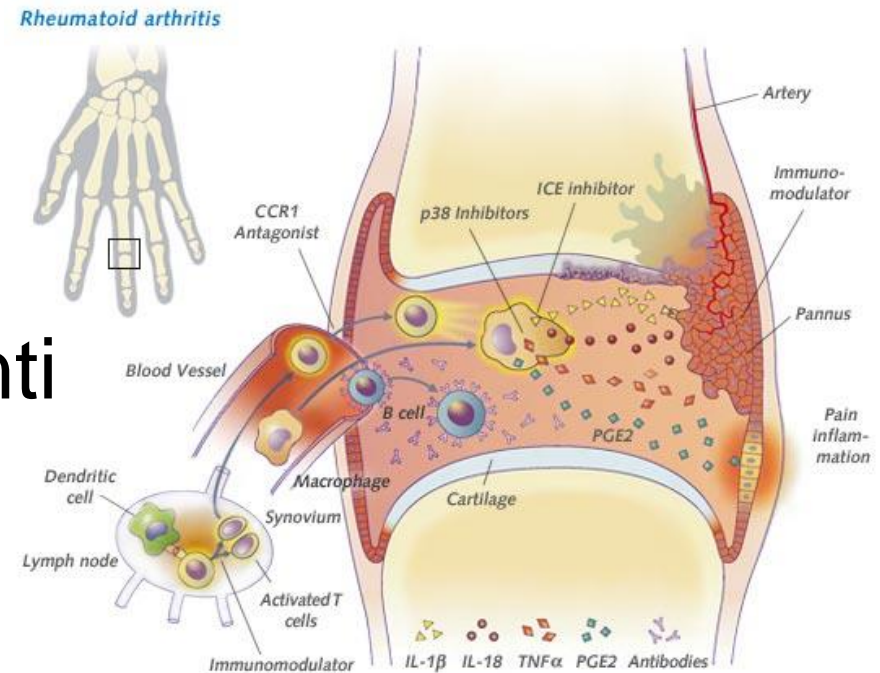
Sinovite nell'Artrite Reumatoide



Proliferativa: edema, iperplasia → villi (infiltrazione cell. Infiammatorie)

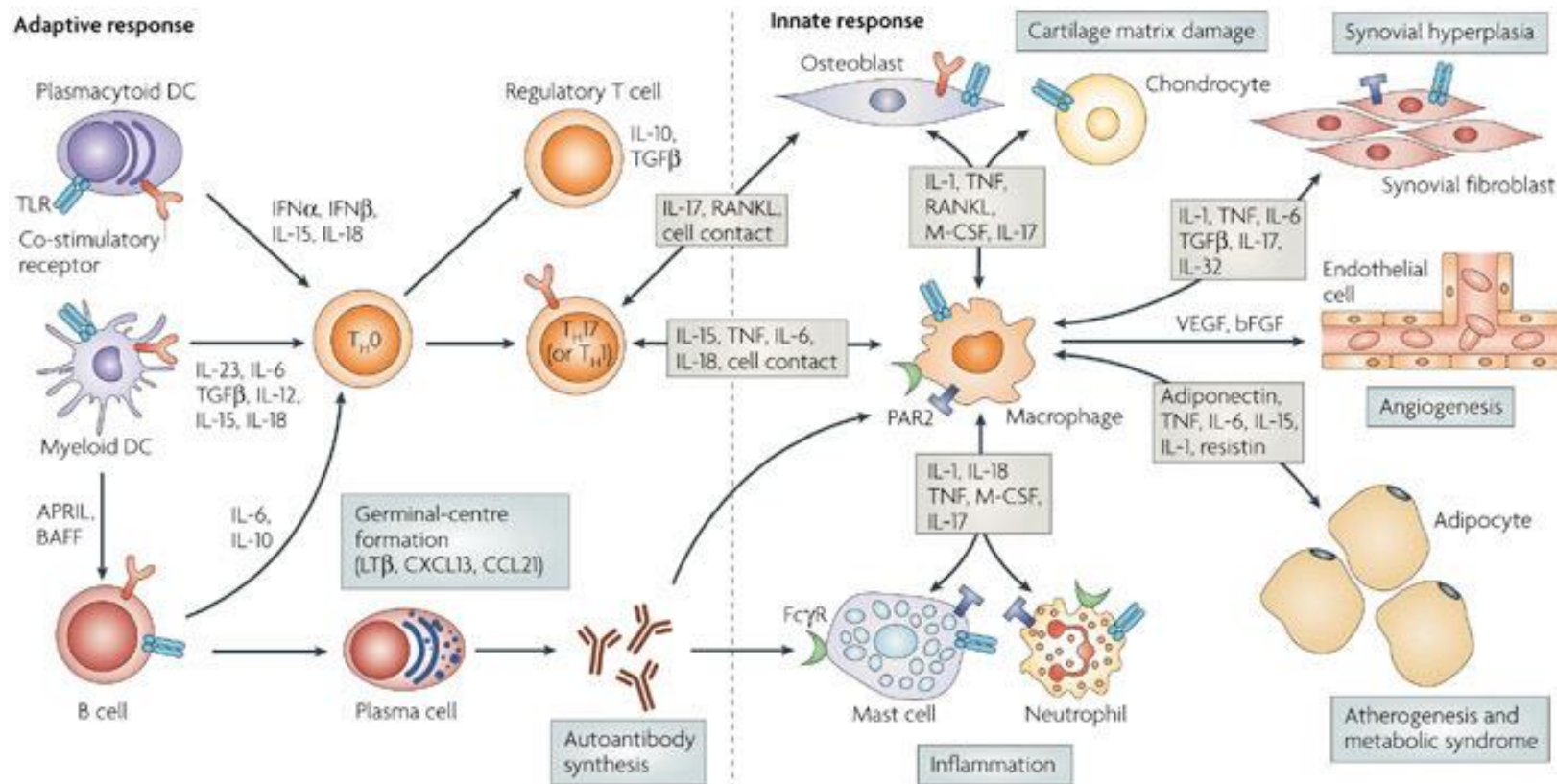
- Follicoli linfoidi

- Fibroblasti sinoviali
- ↓
- Miofibroblasti
- ↓
- Cell. immunocompetenti



Pre-sinovite → sinovite → Early A.R. → A.R.

= perdita di tolleranza self



Nature Reviews | Immunology

Automantenimento della flogosi

- Attivazione osteoclasti
- Erosioni

Assessment of **synovitis** to predict bone erosions in **rheumatoid arthritis**.

Bugatti S, Manzo A, Caporali R, Montecucco C.

Ther Adv Musculoskelet Dis. 2012 Aug;4(4):235-44. doi: 10.1177/1759720X12453092.

PMID: 22859922

[Free PMC article.](#)

- **ACPA: Anti-Peptidi Citrullinati**

rottura tolleranza ai peptidi citrullinati

ruolo del fumo: ACPA +, fumo = FdR

artralgie ACPA + = A.R. 45-60% casi

Anti-**citrullinated** protein antibodies and high levels of rheumatoid factor are associated with systemic bone loss in patients with early untreated rheumatoid arthritis.

Bugatti S, Bogliolo L, Vitolo B, Manzo A, Montecucco C, Caporali R.

- **Linfociti B**

formazione follicoli linfoidi sinoviali

secrezione ACPA, fatt. reumatoide

portatori di RANK-L

biomarker (RTX)

B cells in rheumatoid arthritis: from pathogenic players to disease biomarkers.

Bugatti S, Vitolo B, Caporali R, Montecucco C, Manzo A.

Biomed Res Int. 2014;2014:681678. doi: 10.1155/2014/681678. Epub 2014 Apr 29.

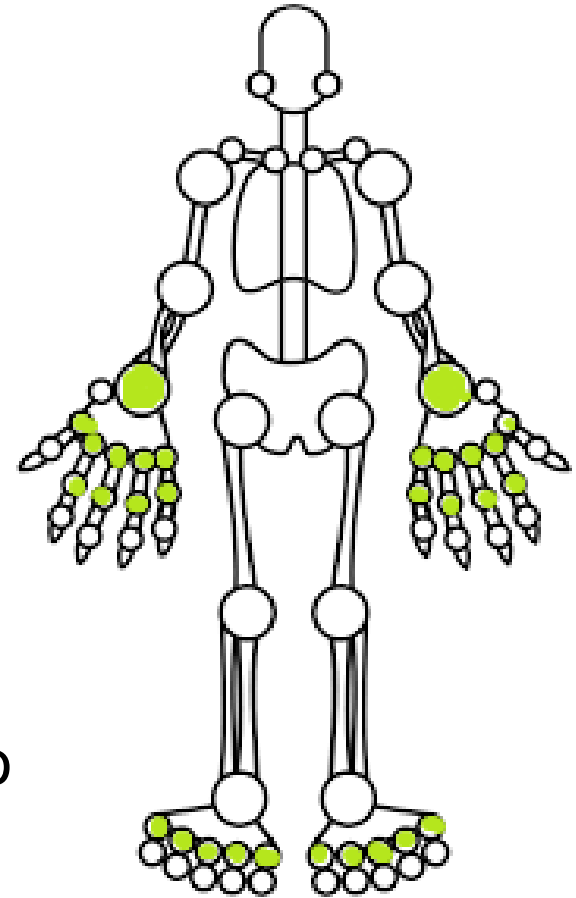
PMID: 24877127 [Free PMC article.](#) [Review.](#)

dv
De Vecchi

D A BREWERTON

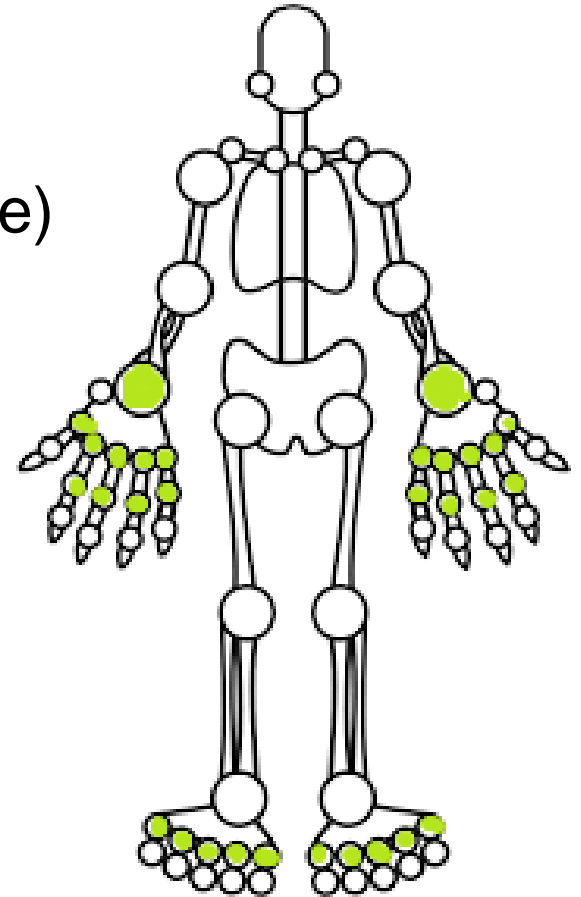
Caratteristiche

- Art. diartrodiali (dotate di sinovia)
- Elettività per MCF IFP (e MTF)
- Mai interessate le IFD
- Simmetria
- Criterio aggiuntivo delle art. colpite
- Contemporaneo impegno tenosinovitico



Caratteristiche

- Dolore infiammatorio - stiffness
- Dolorabilità alla digitopressione
- Tumefazione tesoelastica (vers.articolare)
- Tumefazione parenchimatosa (panno)
- Impotenza funzionale
- Ipotrofia muscolatura interossea



Significato del trattamento precoce dell'artrite reumatoide


INIZIO MALATTIA



**FINESTRA DI
OPPORTUNITÀ**

**DANNO RADIOLOGICO
GIÀ DOCUMENTABILE
DOPO 1-2 ANNI**

Modified Disease Activity Score at 3 Months Is a Significant Predictor for Rapid Radiographic Progression at 12 Months Compared With Other Measures in Patients With Rheumatoid Arthritis

Mohammad Movahedi,  Deborah Weber, Pooneh Akhavan, and Edward C. Keystone

03.2020

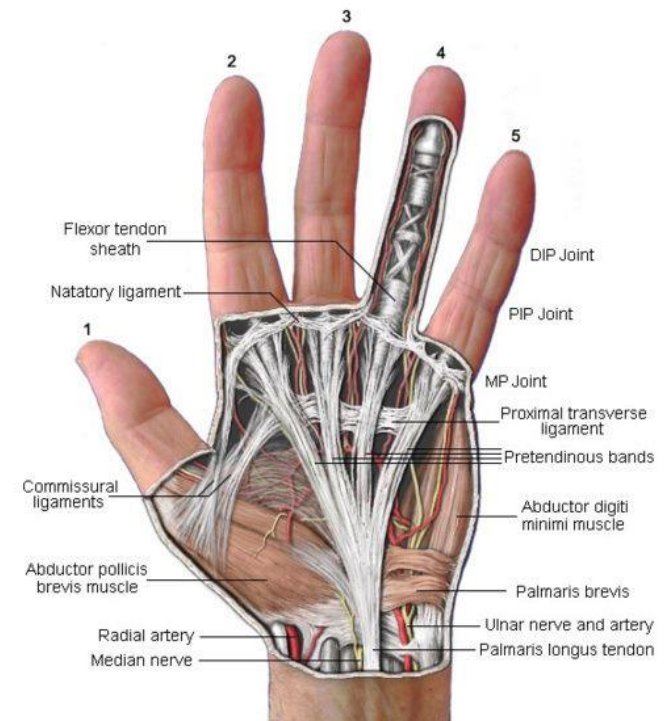
- DAS28 a 3 mesi
- Modified Sharp van der Heijde Score a 12 mesi

tight control
treat to target



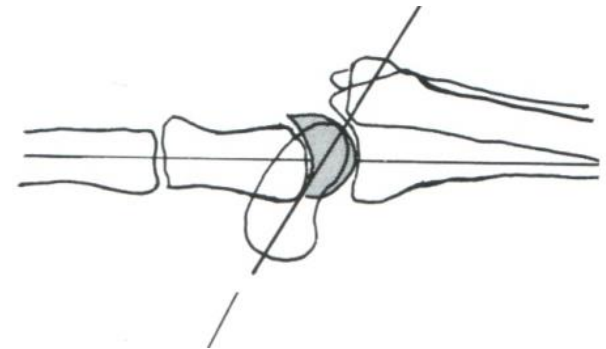
La mano reumatoide

- ❑ Deformazioni del polso
- ❑ Deviazione art. metacarpofalangee
- ❑ Deformazioni assiali delle dita
- ❑ Aspetti radiologici



Deformazioni del polso

- Atteggiamento in flessione della mano
Prevalenza dei muscoli flessori sugli estensori
- Fen. Caput Ulnae o “prominenza della testa dell’ulna”: l’estremità distale dell’ulna si solleva distalmente per sublussazione, conservando inizialmente la possibilità di riduzione manuale.
- Riduzione della massa ossea del carpo
- Anchilosi fibrosa





Deformazioni della mano - MCF

- **DEVIAZIONE ULNARE**

= deviazione radiale della mano a cui si contrappone deviazione ulnare delle dita ("a colpo di vento")

La tumefazione delle MCF si sviluppa a livello dorsale e determina lussazione delle falangi prossimali sulle ossa metacarpali con stiramento del tendine estensore e suo scivolamento laterale.



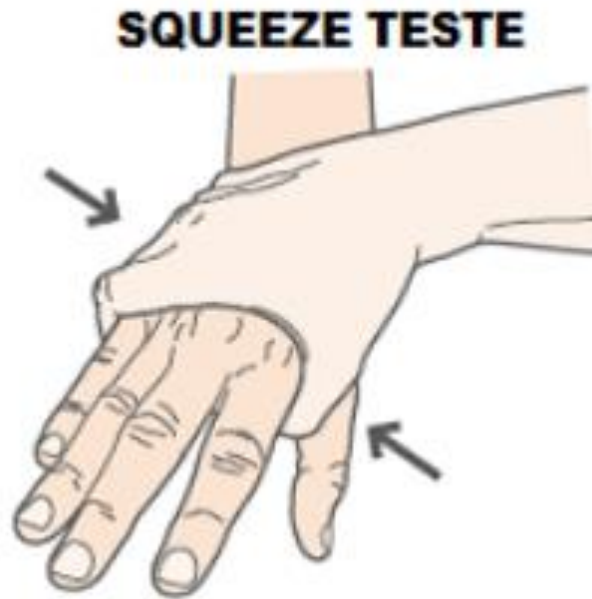
Deformazioni della mano - MCF

- MANO A GOBBA DI DROMEDARIO

Sublussazione volare dei metacarpi sul carpo, associata alla sublussazione delle falangi prossimali sulle teste metacarpali



Segno della gronda



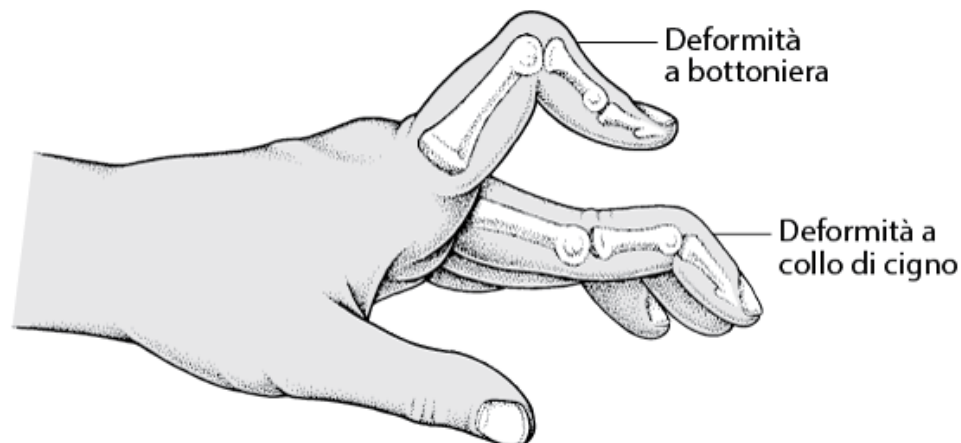
facilmente eseguibile,
esercitare una pressione latero-laterale
delle metacarpofalangee.
la comparsa di dolore è indicativa
di una flogosi articolare
di possibile natura reumatoide.

Deformazioni della mano - IFP

- DITA “EN BOUTONNIÈRE” o “ad asola”

Iperflessione con rigidità delle IFP

E iperestensione delle IFD



Deformazioni della mano - IFP

- DITA “A COLLO DI CIGNO”

Iperestensione delle IFP
ed iperflessione delle IFD



Artrite reumatoide
(fase tardiva)

Deformità del
pollice

Deviazione cubitale
delle articolazioni
metacarpofalangee

Deformità delle dita
a collo di cigno



Deformazioni della mano - IFP

- POLLICE A ZETA

Iperflessione della MCF del I dito e iperestensione della IF



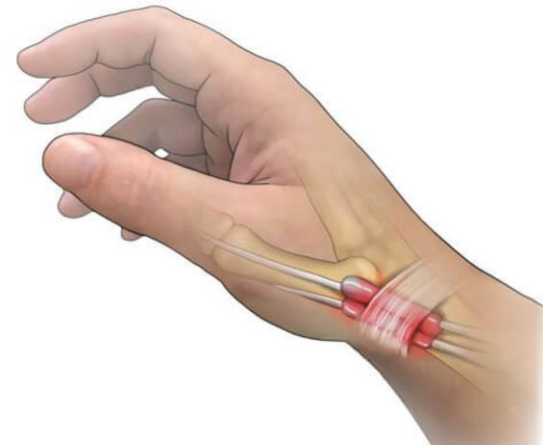
Manifestazioni para-articolari

- Tenosinoviti

Possibile primo segno di malattia

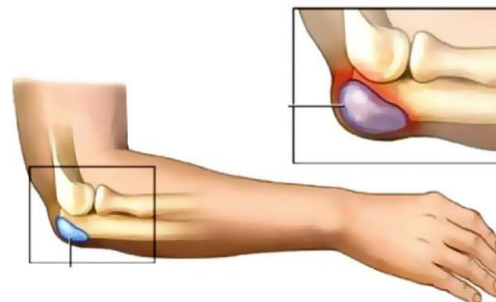
Dei tendini estensori delle dita
→ sindr. di Guyon

Dei tendini flessori
→ dito a scatto
→ Sindr tunnel carpale



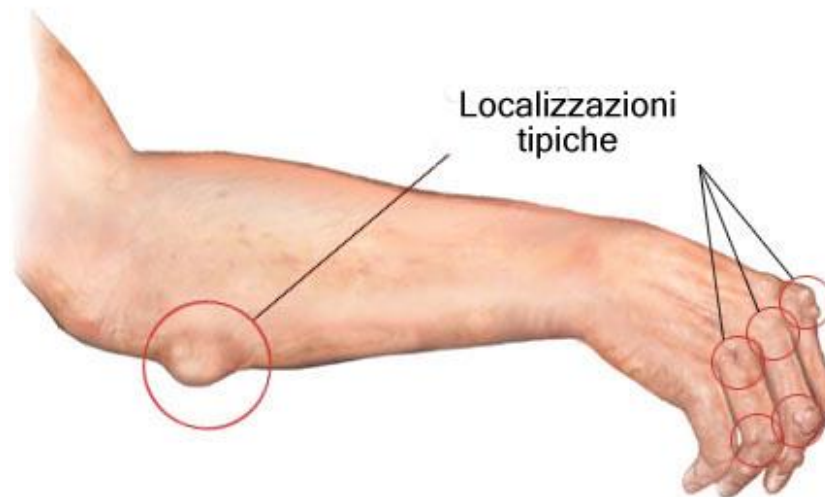
- Borsiti

Olecranica (gomito)
Sottoacromiale (spalla)



Nodulia reumatoide

- Sottocutanei, 10-15% delle AR
- Singoli o multipli. Tendenza a confluire.
- Zone sottoposte a maggior pressione e traumatismi (superfici estensorie)
- Consistenza duro-elastica
- Correlano con presenza di noduli polmonari
- AP: IC + FR + macrofagi. Zona centrale di necrosi fibrinoide e tessuto esterno di granulazione con cell. Epiteliodi + linfociti + plasmacellule.

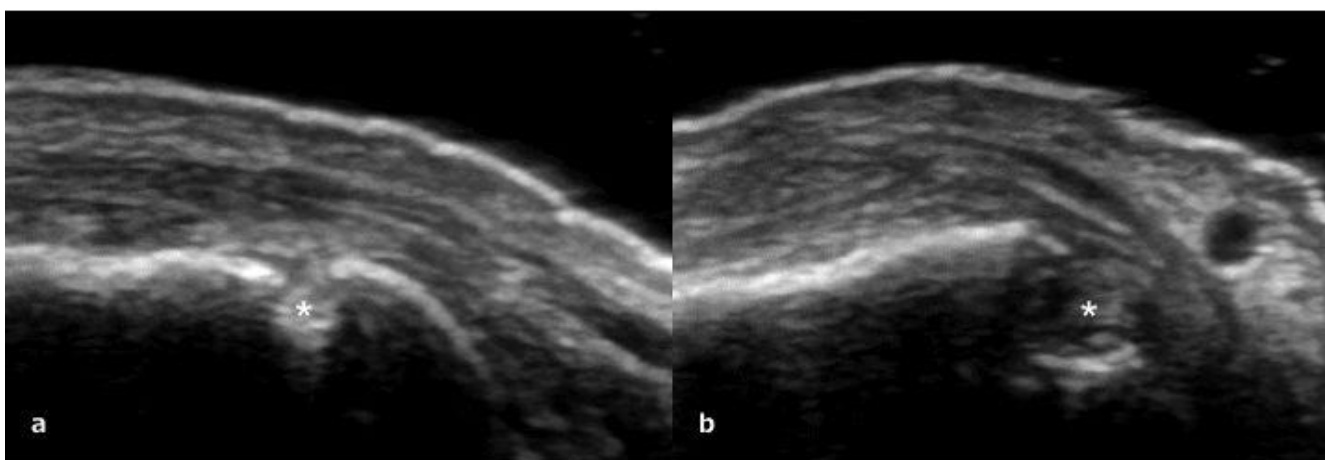




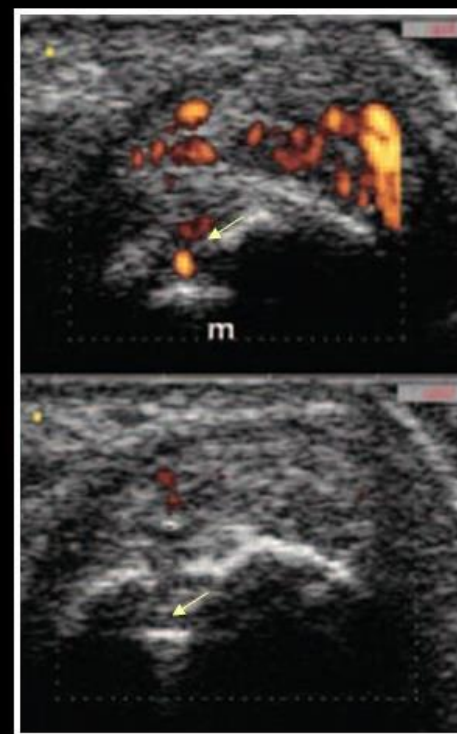
Evoluzione anatomico-radiologica

1. Riduzione dello spazio articolare
2. Osteoporosi iuxta-articolare (segno precoce)
3. Erosioni





EROSIONI MARGINALI ENDOARTICOLARI



Erosione ossea della testa metacarpale.

Modified Sharp van der Heijde Score

Joint Erosion Score

8-point scale with 0.5 increments.

+= worse (0.5)

0= normal

1= mild

2= moderate

3= severe

14 sites/hand x 2

3 x 28= 84

Joint Space Narrowing Score

9-point scale with 0.5 increments

+= worse (0.5)

0= normal

1= mild

2= moderate

3= severe

4= ankylosis

13 sites/hand x 2

4 x 26=104

Total ERO and JSN scores were
normalized to a scale of 0-100.

Joint Total Score: 200 (Adjusted ERO + Adjusted JSN)

DIAGNOSI DIFFERENZIALE

- ARTRITE PSORIASICA
- ARTROSI PRIMITIVA DELLE MANI
- SPONDILOARTRITI (REATTIVA, ENTEROPATICA, ...)
- CONDROCALCINOSI ARTICOLARE
- ARTRITI IN CONNETTIVITI (SINDR. DI JACCOUD)
- GOTTA
- ARTRITE SETTICA
- POLIMIALGIA REUMATICA
-





Grazie per l'attenzione!